

*Araştırma Makalesi - Research Article*

## Ses Emisyonu Yarık Boyutlarının Hafif Agregalı Kâgir Blokların Ses Yutum Özelliklerine Etkisi

### Effect of Sound Emission Slit Dimensions on Sound Absorption Properties of Lightweight Aggregate Masonry Blocks

Lütfullah Gündüz<sup>1</sup>, Şevket Onur Kalkan<sup>2\*</sup>*Geliş / Received: 02/03/2022**Revize / Revised: 14/12/2022**Kabul / Accepted: 14/12/2022*

#### ÖZ

Ses yalıtımı, ses dalgalarının bir malzemeden içeri girmesini önlemek için bir tür önlemdir. İyi ölçüde ses emici malzemelerin hafif, gevşek ve gözenekli yapıda ürünler oldukları bilinmektedir. Bu çalışmada, hafif agregalı ve boşluklu beton blokların ses yalıtım özelliklerinin iyileştirilmesi için yeni bir tasarım yaklaşımı sunulmaktadır. Çalışma kapsamında, pomza ve volkanik tüf beton blok üretiminde hafif agrega olarak kullanılmıştır. Özel tasarıma sahip alternatif ses emici ortamların oluşturulduğu kâgir blok örneklerinin akustik özellikleri model örnekler üzerinde analiz edilmiştir. Özellikle, tasarımda Helmholtz rezonatör formunun oluşturulduğu ve 3 ayrı alternatif ses absorpsiyon için yarık genişliklerinin (12 mm, 16 mm, 20 mm genişliğinde) kagir blok elemanın ses yutum performansına olan etkileri incelenmiştir. Hafif beton blokların geometrik tasarımını, üç sıra boşluklu olarak tasarlanmış ve ses yutma kapasitesini artırmak için kenardaki bir sıra boşluğu kapatan beton yüzey boşluk hızasında üç farklı genişliklerde yarılarak bu kenardaki boşluklar açık boşluk haline getirilmiştir. Ayrı bir seri olarak, kagir blokların ses yutma kapasitesini artırma amaçlı, polyester elyaf keçe takviye malzemesi olarak kullanılmıştır. Bu tasarım formlarına ait teknik bulgular da karşılaşmalıdır olarak tartışılmıştır. Çalışma bulgularına göre, blok tasarımındaki yarık genişliği büyütükçe, Helmholtz rezonatör formundaki boşluk hacimlerine alınan ses miktarının arttığı ve dolayısıyla daha fazla ses soğurma işlevi gördüğü tespit edilmiştir. Ayrıca, polietilen elyaf keçe takviyesi ile birlikte 16 mm yarık tasarımlı blokta 1.67 katlık, 20 mm yarık tasarımlı blokta ise 1.74 katlık ilave bir ses emicilik performansı sağlanmaktadır.

**Anahtar Kelimeler- Hafif Agrega, Kâgir Blok Tasarımı, Akustik, Ses Yutum, Ses Yalutımı**

---

#### ABSTRACT

---

Sound insulation is a kind of measure to prevent sound waves from penetrating through a material. Good sound absorbing materials are known to be lightweight, loose, and porous products. In this study, a new design approach is presented to improve the sound insulation properties of lightweight aggregate concrete blocks. Within the scope of the study, pumice, and volcanic tuff were used as lightweight aggregates in the production of concrete blocks. The acoustic properties of the masonry block specimens, in which alternative sound absorbing environments with special design are created, were analyzed on the model specimens. In particular, the effects of 3 different slit widths (12 mm, 16 mm, 20 mm wide) on the sound absorption performance of the masonry block element, in which the Helmholtz resonator form was created in its design, were investigated. The geometry of the lightweight concrete blocks is designed with three rows of gaps, and on the outer facing of the block, 4 sound slits were created at 80%

---

<sup>1</sup>İletişim: [lutfullah.gunduz@ikcu.edu.tr](mailto:lutfullah.gunduz@ikcu.edu.tr) (<https://orcid.org/0000-0003-2487-467X>)*İnşaat Mühendisliği, İzmir Kâtip Çelebi Üniversitesi, Mühendislik ve Mimarlık Fakültesi, İzmir, Türkiye*<sup>2\*</sup>Sorumlu yazar iletişim: [sevketonur.kalkan@ikcu.edu.tr](mailto:sevketonur.kalkan@ikcu.edu.tr) (<https://orcid.org/0000-0003-0250-8134>)*İnşaat Mühendisliği, İzmir Kâtip Çelebi Üniversitesi, Mühendislik ve Mimarlık Fakültesi, İzmir, Türkiye*

of the block height to increase the sound absorption capacity, and the gaps on these sides are turned into open gaps. In addition, the technical findings of the design forms of polyester fiber felt used as reinforcement material to increase the sound absorption capacity of the block were also discussed comparatively. According to the study findings, it has been determined that as the slit width in the block design gets larger, the amount of sound received into the cavity volumes in the form of Helmholtz resonator increases, and therefore it functions more as a sound absorber. In addition, with the polyethylene fiber felt reinforcement, an additional sound absorbing performance of 1.67 times is provided in the 16 mm slit block and 1.74 times in the 20 mm slit design block.

**Keywords-** *Lightweight Aggregate, Masonry Block Design, Acoustic, Sound Absorption, Sound Insulation*

## I.GİRİŞ

İnşaat sektöründe yapı malzemesi olarak kullanılan elemanlarda yalıtım performansı denilince günümüzde ısı, su ve yanım yalıtımı kadar önemli bir diğer unsur akustik konfor ve ses yalıtımıdır. Ses yalıtımı, insan sağlığına olumsuz etkileri olan gürültünün zararlarını en aza indirmek için binalarda ve işyerlerinde sesin olumsuz etkilerini azaltmak amacıyla yapılan yalıtım türüdür. İçinde yaşadığımız tüm fiziki mekanlarda akustik konforun belirli prensipler dahilinde aranması, insan sağlığı ve psikolojisi açısından son derece önem kazanmaktadır. Bir binada akustik konforun sağlanmasında en önemli etkenlerin başında, kullanılan her türev malzemenin ses yalıtımına yönelik parametrik değerleri ve performans göstergeleri gelmektedir [1-3]. Bu bağlamda, bir binada üstün derecelerde bir akustik konfor ortamı sağlanması arzu edildiğinde, binanın planlama ve projelendirilmesi önemli olduğu kadar, seçilecek malzemelerin detaylı akustik konfor özelliklerinin de etüt edilmesi ve akustik performans açısından birbiri ile uyumlu malzemelerin seçilmesi de bir o kadar önemlidir. Yapı malzemelerinin akustik konfor değerlendirmelerinde en önemli parametrelerin başında malzemenin ses yutma karakteristiğinin belirlenmesi gelmektedir. Bu özelliğin belirlenmesi için malzemenin farklı frekans değerlerinde ses yutum katsayı değerlerinin bilinmesi veya tanımlanması gerekmektedir [1-6]. Ancak, taşıyıcı ve/veya taşıyıcı olmayan duvar örgülerinde kullanılan kâğıt blok elemanların ses yutum karakteristikleri üzerine literatürde yeterli düzeyde teknik bulgulara rastlanılamamaktadır. Özellikle iç mekânda akustik konfor koşulların iyileştirilmesi projelerinde duvari oluşturan kâğıt birimlerin akustik amaçlı tasarımlarının geliştirilmesi önem arz eden bir durumdur. Literatürde akustik amaçlı farklı tasarım ve bileşenlerden oluşan bir dizi kâğıt blok elemanın teknik performansları araştırmacılar veya kâğıt blok üreticileri tarafından incelenmiştir [7-12]. Kâğıt blok elemanlarının ses yutum performanslarının gelişimi, blok tasarım şekillerine bağlı olduğu kadar, bloğun üretiminde kullanılan agrega malzemelerin karakteristiği ile de doğrudan ilişkilidir. Bu çalışmada, hafif agrega olarak kullanılan pomza ve volkanik tuf agregali özel tasarıma sahip alternatif ses emici ortamların oluşturduğu kâğıt blok örneklerinin akustik özelliklerini tecrübe etmek amacıyla model örnekler üzerinde yapılan incelemelerle analiz edilmiştir. Özellikle tasarımında Helmholtz rezonatör formunun oluşturulduğu ve 3 ayrı alternatif ses emisyon yarıksızlıklarının kâğıt blok elemanın ses yutum performansına olan etkileri incelenmiş olup, ayrıca bloğun ses emisyonunu artırmak için polyester elyaf keçenin ilave takviye malzemesi olarak kullanılmış tasarım formlarına ait teknik bulgular da karşılaştırmalı olarak tartışılmıştır.

## II. MATERİYAL VE YÖNTEM

### A. Çalışmada Kullanılan Malzemeler

Bu çalışmada, hafif agregali kâğıt blok elemanlarının tasarımında elde edilecek blok harcı için pomza agrega ve volkanik tuf malzemeler, iki farklı agrega türü olarak değerlendirilmiştir. Blok harcı karışımlarında ana agrega malzeme olarak Nevşehir bölgesindeki oacaklardan temin edilen işlenmemiş doğal formdaki pomza agrega kullanılmıştır. Pomza agrega laboratuvar ortamında birincil bir çeneli kırılarak sınıflandırma işlemine tabi tutulmuştur. Hafif agregali harç örneklerinin hazırlanması amacıyla pomza iki ayrı boyut fraksiyonu 2-4 mm ve 4-12 mm aralıklarına sınıflandırılarak kullanılmıştır. İki farklı boyut aralığındaki pomza agregaların etüv kurusu birim hacim kütleye sırasıyla,  $710 \text{ kg/m}^3$  ve  $640 \text{ kg/m}^3$ 'dir. Hafif agregali kâğıt blok örneklerinin hazırlanmasında ince agrega ve/veya dolgu materyali olarak ise volkanik tuf malzeme, Aksaray bölgesindeki normal piyasa koşullarından temin edilerek kullanılmıştır. Volkanik tuf malzeme yaklaşık %34'ü 1 mm boyutun altında olacak formda 0-2 mm boyutuna sınıflandırılmış olup, etüv kurusu birim hacim kütleye sırasıyla 930  $\text{kg/m}^3$ 'dir. Blok harcı hazırlanmasında CEM I 42.5R Portland çimento (örgül ağırlık değeri  $3.15 \text{ g/cm}^3$ ) kullanılmış olup, su olarak şehir şebekesi suyu kullanılmıştır.

### B. Hafif Beton Tasarımı ve Örneklerin Hazırlanması

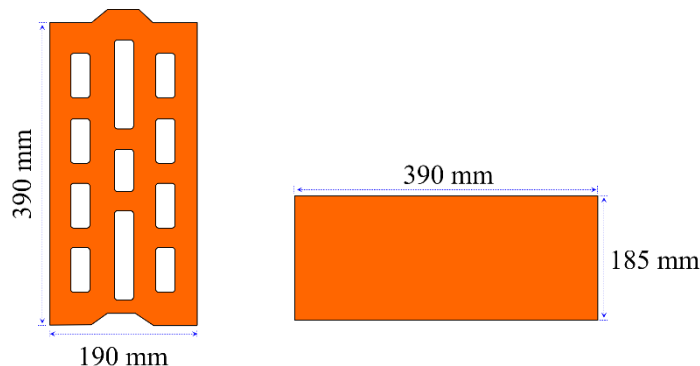
Pomza ve volkanik tüp agregalı kâğıt blok harcı elde edilmesinde kullanılan hafif beton karışım tasarımı Tablo 1'de verilmiştir.

**Tablo 1.** Hafif beton karışım tasarımı

Malzeme	Reçete ağırlıkça (%)	Reçete hacimce (%)
2-4 mm Pomza	21.34	22.35
4-12 mm Pomza	45.53	53.64
0-2 mm Volkanik Tüp	16.54	13.41
Çimento	16.59	10.60

Karışımında yer alan bağlayıcı eleman çimento da dahil tüm malzemeler öncelikle bir mikser ortamında karıştırılarak homojen bir kuru formda agrega karışımı elde edilmiştir. Daha sonra karışımı su/katı oranı 0.43 olacak şekilde su ilave edilerek 5 dakika karıştırmaya devam edilmiş ve düşük slümplü kâğıt blok üretiminin mümkün kılınabilecek bir kıvama getirilmiştir. Bu çalışmada, kuru kıvam karışımı için sınır olarak 30 mm çökme değeri kullanılmıştır. Karıştırma işlemi sonrası kuru karışım kıvamındaki taze yaşı harcin birim hacim kütleye 1242 kg/m<sup>3</sup> olup, priz almış kuru birim hacim kütleye ise 886 kg/m<sup>3</sup>'tur. Çalışmada kullanılan tüm kâğıt blok örneklerinin tasarımda bu karışım standart ve sabit değer olarak kullanılmıştır.

Hafif agregalı kâğıt blok üretimi için normal piyasa koşullarında yaygın olarak görülen blok tasarımlarından farklı olarak 3 sıra boşluklu (4+3+4) 11 boşluk hacimli 190 mm x 390 mm x 185 mm (Genişlik, Uzunluk, Yükseklik) anma boyutlu bir blok formu referans blok tasarımları olarak ele alınmıştır (Şekil 1). Bu tasarımındaki blok elemanın alt tabanı kapalı formda olup, hacimsel boşluk oranı %21.44 ve üst yüzey alansal doluluk oranı da %26.22'dir. Bu tasarıma sahip blok elemanı için Çizelge 1'de belirtilen karışımarda kalıplama, presleme ve 28 gün doğal ortam kürlemesi süreçlerini kapsayan blok üretimi yapıldığında elde edilen kâğıt bloğun kuru birim ağırlığı 9.55 kg ve brüt kuru birim hacim kütlesi ise 696 kg/m<sup>3</sup>'tur. Bu geometrik form ve ağırlık değerlerine sahip blok tasarımları bu çalışma kapsamında kâğıt blok test örnekleri olarak değerlendirilmiştir.

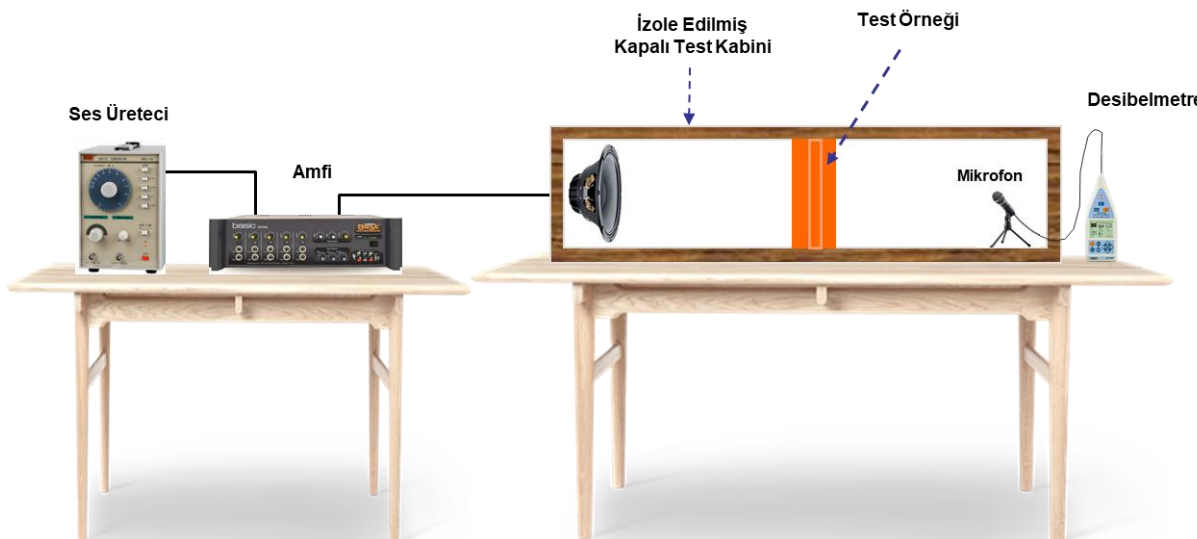


**Şekil 1.** Kâğıt blok elemanı örneğinin genel geometrik formu (Referans blok elemanı)

### C. Ses Yutum Katsayısı Analizi

Ses yutum katsayısının belirlenmesinde yaygın olarak kullanılan ölçme yöntemi Empedans Tüp Yöntemi olarak bilinmektedir. Bu yöntem TS EN ISO 10534-1 ve TS EN ISO 10534-2 standartlarında [13,14] öngörülen prensiplere göre ölçümler seçenekli olarak yapılmaktadır. Bu standartlardan TS EN ISO 10534-1'de ses yutum katsayısı ve empedansın tayini, duran dalga oranını kullanma metodu ile tanımlanırken, TS EN ISO 10534-2'de ise ses yutum katsayısı ve empedansın tayini aktarım fonksiyonu metoduna göre belirlenmektedir. Harç kombinasyonları için çoğulukla tercih edilen metodoloji, duran dalga oranını kullanma metodu olarak bilinmektedir. Ancak, birebir boyutta ve boşluklu tasarıma da sahip olan bir kâğıt blok örneği gerek boyutu ve gerekse heterojen yapısı sebebiyle bu yöntemlere uygun test numunesi hazırlanması mümkün olamamaktadır. Bu nedenle bu tür yapı elemanları için alternatif analiz yöntemleri uygulamak gerekmektedir. Bu çalışmada literatürde farklı tasarım bileşenlerine sahip malzemelerin ses yutum katsayı değerlerini belirlemeye yönelik standart dışı ve

yakınsak deneysel bir yöntem olarak da öngörülmüş “desibel düşüşü” yöntemi [15,16], kâğıt blok tasarımlarının ses yutum katsayı değerlerinin belirlenmesinde bir yaklaşım olarak değerlendirilmiştir. Bu yaklaşımında, oluşturulan izole edilmiş bir ses kabini içerisinde kabini ikiye ayıran bir bölme birim yer alıp, bu bölge birim üzerinde ses ölçümü yapılacak malzemenin yerleştirilmesi için uygun açıklıkta bir boş alan yer almaktadır (Şekil 2). Kabinin bir tarafında ses kaynağı, diğer tarafında ise ses analizörü bulunmaktadır. Öncelikle ses kaynağı ölçüyü yapılacak önceden belirlenmiş bir frekansa ayarlanarak aktif hale getirilir ve kabının diğer bölümündeki ses analizörü ile açıklıktan gelen ses basınç seviyesi (SBS) desibel (dB) cinsinden bu frekans değerindeki referans fon ölçüm değeri ( $R_{i,ref}$ ) olarak kaydedilir. Sonrasında, hazırlanan test örneği ara bölmede oluşturulmuş boşluk alana ses sızdırılmaz bir konumda yerleştirilir ve ses kaynağı fon ölçümünde kullanılmış eşdeğer frekans değerinde tekrar çalıştırılırak, test örneğinin bu frekans değerindeki test fon ölçüm değeri ( $R_{i,test}$ ) olarak kaydedilir. Referans fon ölçüm değeri ile test fon ölçüm değeri arasındaki ses basınç seviyesi farkı, ölçümü yapılan bu frekans değeri için Desibel Düşüşü ( $\Delta R$ ) olarak tanımlanır. Desibel düşüşü ( $\Delta R = R_{i,ref} - R_{i,test}$ ) dB cinsinden hesaplanır. Belirlenen desibel düşüş değeri, Eşitlik 1 ve 2’de belirtilen [15,16] empirik formül ile test örneğinin bu frekans değerindeki ses azaltma katsayısı olarak hesaplanır. Bu yaklaşımı göre hesaplanan değer, test örneğin ses yutum katsayı ( $\alpha$ ) olarak tanımlanmıştır.



Şekil 2. Ses ölçüm düzeneğinin simbolik görünümü

$$\alpha = 1 - 10^{-(\Delta R / 20)} \quad (1)$$

$$\alpha = 1 - 10^{-[(R_{i,ref} - R_{i,test}) / 20]} \quad (2)$$

Burada;  $\alpha$ , test örneğinin ses yutum (azaltma) katsayı;  $\Delta R$ , iki fon ölçümü arasındaki desibel düşüş değerini (dB) göstermektedir.

Test örneğinin 1/3 oktav bandında 63 Hz – 6300 Hz aralığında her bir frekans değeri için sırasıyla tekrarlamalı olarak fon ölçümleri ve hesaplamalar yapılmıştır. Bu metodolojiye göre hafif agregal kâğıt blok örnekleri için 1/3 oktav bandında 63 Hz – 6300 Hz aralığında belirlenen yutum katsayıları değerlerinden ASTM C423 standardında öngörülen Gürültü Azaltma Katsayı (NRC) değeri 250, 500, 1000 ve 2000 Hz frekanslarındaki ses yutum katsayılarının ortalaması olarak hesaplanmıştır (Eşitlik 3) [17,18].

$$NRC = (\alpha_{250 \text{ Hz}} + \alpha_{500 \text{ Hz}} + \alpha_{1000 \text{ Hz}} + \alpha_{2000 \text{ Hz}}) / 4 \quad (3)$$

Gürültü azaltma katsayısının (NRC) tanımında dikkate alınan frekans bantları, gürültü kontrolü açısından önemli olan frekans bantlarını kapsamaktadır. Bu nedenle, NRC değeri bilinen iki malzemeden, daha büyük değere sahip olanın, genelde daha iyi ses yutumu sağladığını söyleyebilir. NRC değerinin “0” değeri, malzemenin mükemmel yansıtıcılık özelliğini temsil ederken, NRC’nin “1” değeri ise, malzemenin mükemmel ses soğuruculuk özelliğini temsil eder. NRC derecelendirmeleri, ses yutucu bir malzemeye temas eden ve iç mekâna geri yansıtılmayan sesin yüzdesi olarak yorumlanabilmektedir. Örneğin, NRC=0.65’lik bir Gürültü Azaltma Katsayı, ses dalgalarının %65’inin malzeme tarafından emildiğini, %35’lik kısmının ise yansıtıldığını gösterir. Malzemeler ses emicilik davranışlarına göre sınıflandırılabilir.

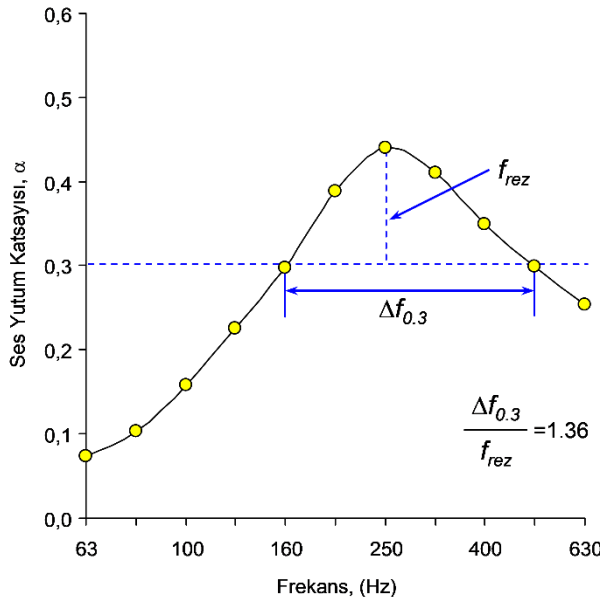
### III. ARAŞTIRMA BULGULARI VE TARTIŞMA

#### A. Standart Kâgir Blok Formunun Akustik Özellikleri

Tasarımında akustik amaçlı Helmholtz rezonatörü oluşturulmamış dış kenar hatıları kapılı formda hafif agregalı 3 sıra boşluklu kâgir blok elemanı tasarımları bu çalışmada referans kâgir blok örneği olarak tanımlanmıştır. Referans kâgir blok elemanı örneklerinin 1/3 oktav bandında 63 Hz – 6300 Hz frekans aralığında ses yumut katsayısı (absorpsiyon katsayısı) değişimi desibel düşüşü yöntemine göre analiz edilmiştir. Analiz bulguları örnek bir değerlendirme olarak Tablo 2’de verilmiştir. Blok örneğinin ses yumut performansının daha detay irdelenmesi amacıyla absorpsiyon spektrumu ve frekans bant genişliği ilişkisi rezonans bölgesi bağlamında Şekil 3’té gösterilmiştir.

Tablo 2. Referans kâgir blok elemanı örneği için desibel düşüşü yöntemine göre bulgular.

Frekans (Hz)	Referans Fon Ölçümü $R_{i,ref}$ (dB)	Test Fon Ölçümü $R_{i,test}$ (dB)	Fon Ölçümleri Farkı $\Delta R = R_{i,ref} - R_{i,test}$	$\alpha = 1 - 10^{-\Delta R/20}$ Ses Yumut Katsayıtı
63	84.2	83.5	0.66	0.07
80	85.3	84.4	0.94	0.10
100	87.1	85.6	1.50	0.16
125	89.3	87.1	2.21	0.23
160	87.4	84.3	3.06	0.30
200	85.8	81.5	4.28	0.39
250	89.8	84.8	5.04	0.44
315	90.2	85.6	4.58	0.41
400	83.6	79.9	3.74	0.35
500	88.6	85.5	3.10	0.30
630	89.2	86.7	2.55	0.25
800	92.2	89.8	2.40	0.24
1000	92.7	90.1	2.57	0.26
1250	94.1	91.2	2.90	0.28
1600	92.7	89.5	3.20	0.31
2000	87.9	84.6	3.31	0.32
2500	88.8	85.5	3.29	0.32
3150	82.3	79.3	2.97	0.29
4000	90.1	87.6	2.46	0.25
5000	93.4	91.1	2.30	0.23
6300	94.8	92.5	2.30	0.23

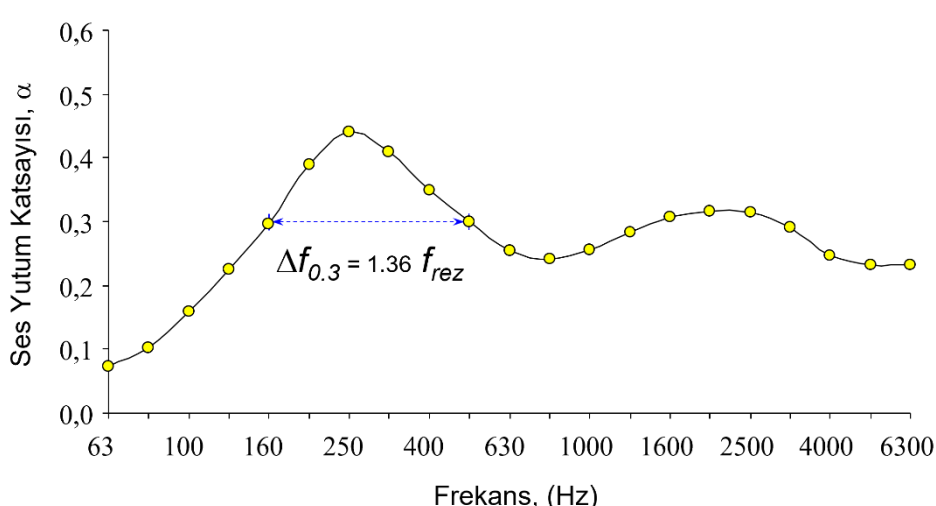


Şekil 3. Referans blok için rezonans bölgesi analizi

Düşük frekans bölgelerinde referans blok elemanın ses yumut katsayıısı 0,07 – 0,44 aralığında değişmektedir. Referans blok örneğinin kütle ağırlığı ( $m^2$  ağırlığı)  $135,3 \text{ kg/m}^2$  ve ses azaltım indisi (ses geçiş kaybı) bağlamında belirlenen kritik frekans değeri ise  $117 \text{ Hz}$ 'dir. Ancak, ses yumut katsayıısı performansında  $250 \text{ Hz}$  frekans değerinde  $\alpha=0,44$ 'luk değer ile tepe noktasını oluşturmaktadır.  $250 \text{ Hz}$  frekans değerinden sonra  $800 \text{ Hz}$  degerine kadar lineer bir eğilimle ses yumut katsayıısının azalarak 0,24 değerine kadar düşüğü görülmektedir.  $800 \text{ Hz}$  frekans değerinin üzerindeki yüksek ses frekans bölgesinde ise  $\alpha$  değeri  $0,26$  –  $0,32$  aralığında değişim göstermektedir. Bu bulgu, hafif agregalı referans blok örneğinin özellikle düşük frekans bölgesinde ses yumumu açısından daha etkin bir performansa sahip olduğu anlaşılmaktadır. Referans blok örneğinin tasarım formu itibarıyle mükemmel akustik emiciliği bant genişliğinin  $160 \text{ Hz}$  ile  $500 \text{ Hz}$  frekans aralığında olduğu dikkat çekmektedir. Frekans – ses yumut katsayıısı ilişkisi grafiksel olarak Şekil 4'de gösterilmiştir.

Frekans (Hz)	Ses Yutum Katsayıısı
63	0,07
80	0,10
100	0,16
125	0,23
160	0,30
200	0,39
250	0,44
315	0,41
400	0,35
500	0,30
630	0,25
800	0,24
1000	0,26
1250	0,28
1600	0,31
2000	0,32
2500	0,32
3150	0,29
4000	0,25
5000	0,23
6300	0,23

NRC = 0,33



Şekil 4. Kâgor blok elemanı örneklerinin ses yumut katsayıı analizi (kontrol değerleri)

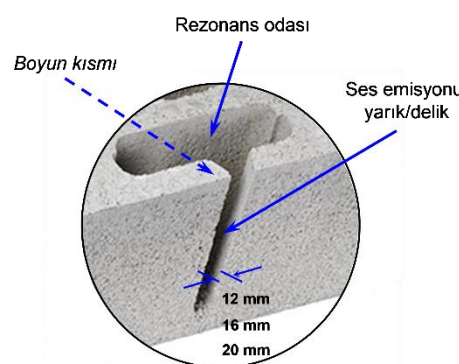
Rezonans bölgesinde görüldüğü gibi blok örneğinin  $\alpha=0,30$ 'luk ses yumut değerlerini sağlayan bölge aralığında ses emicilik performansının maksimum değerlere ulaşmaktadır. Bu frekans bant aralığında oluşan

maksimum ses yutum değerine karşılık gelen frekans değeri “rezonans frekansı ( $f_{rez}$ )” olarak tanımlanabilmektedir. Hafif agregalı kâğıt blok elemanın ses yutma performansının irdelenmesinde bu absorpsiyon bant genişliği ( $\Delta f_{0,3}$ ) ile rezonans frekansı ( $f_{rez}$ ) arasında oluşturulan orantısal ilişki ( $\Delta f_{0,3}/f_{rez}$ ), bu çalışmada akustik tasarımları farklı olan diğer blok örneklerinin değerlendirilmelerinde bir karşılaştırma kriteri olarak ele alınmıştır. Bu parametre bağlamında, referans kâğıt blok örneğinin değeri  $\Delta f_{0,3}= 1.36f_{rez}$ ’dır. Diğer bir değişle  $\alpha=0.3$  ses yutum değeri sağlanması için rezonans bölgesinde etkin frekans bant genişliği, rezonans frekans değerinin %36 fazlasıdır (Şekil 4). Hafif agregalı kâğıt blok elemanlarında bu oransal değer ne kadar büyükse, düşük frekans bölgesinde ses emicilik özelliğinin de o ölçüde gelişmiş olduğu öngörlülebilir.

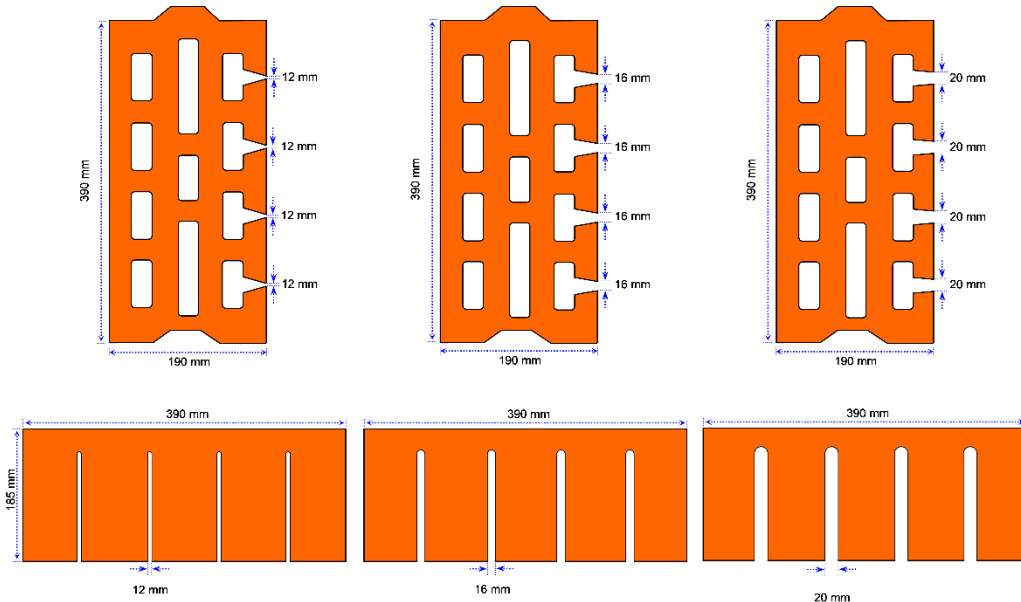
Gürültü kontrolü ve ses yalıtımı amaçlı yapı elemanı olarak kullanılan malzemelerin ses dalgalarının malzeme içeresine girmesini, yayılmasını, serttünme yoluyla ses enerjisinin sökümlenmesini sağlayacak bir matris yapısına sahip olması gerekmektedir. Gürültü azaltma katsayı (NRC), test edilen malzemenin ses yutum kalitesini gösteren tek bir sayı indeksidir. Bu katsayı, belirli bir yüzeye vurma üzerine emilen ses enerjisinin miktarını ve ortalama değer bağlamında bir absorpsiyon katsayısını temsil etmektedir. NRC; 250 Hz, 500 Hz, 1000 Hz ve 2000 Hz frekanslarda ölçülen ses yutum katsayılarının aritmetik ortalamasının en yakın değere 0.05’lik yuvarlanması ile belirlenmiştir. NRC değerleri akustik açıdan malzemeler arasında yakınsak bir karşılaştırma yapılmasını sağlayan pratik bir ölçü olarak kabul edilebilmektedir [17]. Blok örneğinin Gürültü Azaltma Katsayı NRC=0.33 olarak hesaplanmıştır. DIN EN ISO 11654 standardında [19] öngörülen ses emici sınıfına göre “E” kategoride yer almaktadır. Bu değere göre blok elemanı yüzeyine gelen ses dalgalarının %33’ünün kâğıt blok elemanı tarafından emildiğini, %67’lik kısmının ise ortama geri yansıtıldığını gösterir. Geri yansıtılan ses dalgalarının oransal değerinin daha düşük bir düzeye indirgenmesi için, blok elemanın tasarımında ses yutma performansın iyileştirilmesini sağlayacak alternatif tasarımların yapılması gerekmektedir.

### B. Ses Emisyon Yarık Boyutunun Ses Yutum Özelliğine Etkisi

Hafif agregalı referans kâğıt blok elemanın ses emicilik ve akustik özelliklerinin iyileştirilmesi ve de karşılaştırılmalı tasarım değişkenlerinin etkinliğini belirlemek amacıyla, blok elemanı tasarımında bloğun alın kısmına bakan dış hatilda blok yüksekliğinin %80’lik kısmında 4 adet ses emisyon yarığı oluşturulmuştur (Şekil 5). Oluşturulan bu yarıklar ile blok tasarımında yer alan ilk sıra boşluk hacimleri arası alan açılarak, her bir boşluk hacmi ortamı için Helmholtz rezonatörü formu oluşturulmuştur. Blok tasarımındaki bu yarıklar geometrik olarak Helmholtz rezonatörünün boyun kısmı bölgesindeki ses emisyonu yarıkların genişliğini ve bloğun dış hatıl et kalınlığı ses emisyonu yarık derinliğini oluşturur. Bloğun bu alın tarafındaki ilk sıra boşluk hacimleri ise rezonans odası hacmini temsil etmektedir. Helmholtz rezonatörü formu oluşturulmuş tüm blok tasarımlarında boyun kısmı bölgesinde blok elemanlarının ses emisyonu yarık derinliği 27 mm ve rezonans odası hacimleri ise  $244.4 \text{ cm}^3$  sabit değer olarak tasarlanmıştır. Referans kâğıt blok elemanın tasarımında sırasıyla 12 mm, 16 mm ve 20 mm olarak oluşturulan 3 ayrı yarık genişliğinde blok örneklerinin ses yutum katsayı değerleri 1/3 okta bandında 63 Hz – 6300 Hz frekans aralığındaki değişimini analiz edilmiştir. Farklı yarık boyutlarında tasarlanan blok örneklerinin sembolik görünümleri Şekil 6’da verilmiştir.

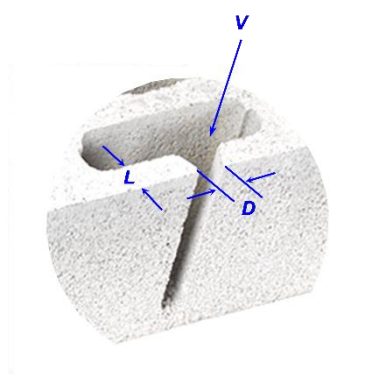


Şekil 5. Ses emisyonu yarık boyutu ve Helmholtz rezonatörü formu sembolik görünümü



Şekil 6. Farklı yarık boyutlarında tasarılan blok örneklerinin sembolik görünümü

Cok farklı akustik özelliklere sahip önemli bir rezonatör türü, Alman fizikçi Hermann von Helmholtz'un adını taşıyan Helmholtz rezonatöründür [8,9]. Kâğıt blok tasarımda oluşturulan bu rezonatör formları, küçük açıklıklı yarık şekilli boyu olan içi boş hacimli Helmholtz rezonatörler şeklinde olup, bu yarıklardan ortamda yer alan sesin boşluk hacmine girmesine izin vermek için genellikle huni şeklärindedir. Boşluk hacmi içerisinde alınan ses, Helmholtz rezonatörünün prensibine dayanarak ses enerjisini ısı enerjisine dönüşümü şeklinde soğrulma işlevi görebilirler. Blok elemanındaki rezonatörün geometrik formuna bağlı bir rezonans frekansı ( $f_{rez}$ ) mevcuttur. Rezonans frekansı, genellikle Eşitlik 4'te verilen yaklaşımla tanımlanabilmekte olup (Şekil 7), bu rezonans frekansa yakın frekans değerlerinde Helmholtz rezonatörü en yüksek ses yutma değerini sağlar. Helmholtz rezonatörü en çok düşük ve orta frekanslarda etkili sonuçlar sağlayabilmektedir.

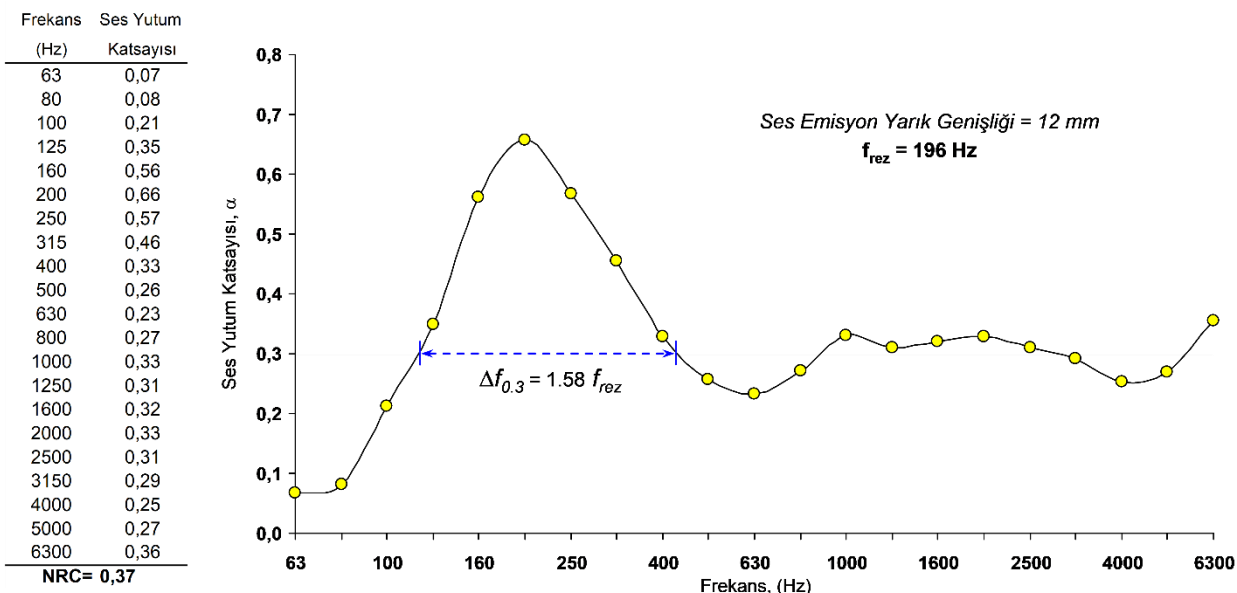


Şekil 7. Kâğıt blok tasarımda Helmholtz rezonatör parametreleri

$$f_{rez} = \frac{C_s D}{4} \sqrt{\frac{1}{\pi V(L+0.75D)}} \quad (4)$$

Burada;  $C_s$ , ses hızı (344000 mm/s);  $D$ , ses emisyon yarık genişliği (mm);  $L$ , ses emisyon yarık derinliği (mm) ve  $V$ , rezonans odası hacmini ( $\text{mm}^3$ ) temsil etmektedir.

Ses emisyonu yarık genişliği 12 mm olan hafif agregalı akustik kâğıt blok örneğinin kütle ağırlığı ( $\text{m}^2$  ağırlığı) 133  $\text{kg}/\text{m}^2$  ve Eşitlik 4'e göre hesaplanmış rezonans frekans değeri  $f_{rez}=196 \text{ Hz}$ 'dir. Blok örneklerinin 1/3 oktav bandında 63 Hz – 6300 Hz frekans aralığında ses yutum katsayı (absorpsiyon katsayı) değişimi analiz edilmiş olup, bulgular Şekil 8'de verilmiştir.



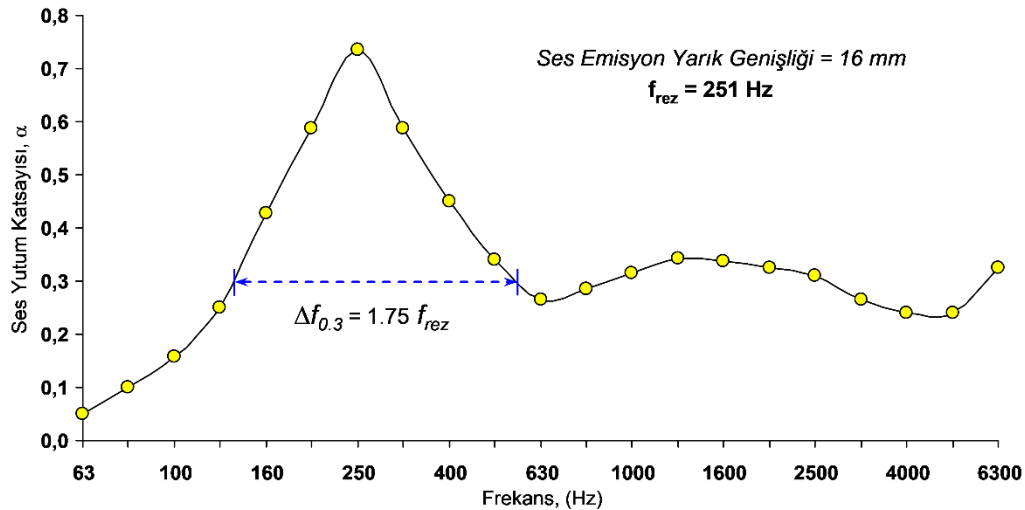
Şekil 8. Frekans – ses yutum katsayıısı ilişkisi (ses emisyon yarık genişliği: 12 mm)

Rezonans frekansı 196 Hz değerinde  $\alpha=0.67$  olarak belirlenmiştir. Düşük frekans bölgesinde rezonans frekans değerine kadar olan bant değişiminde ses yutum performansı 0.07'den 0.67 değerine kadar gelişim göstermektedir. Ancak, bu frekans değerinden sonra 630 Hz frekans değerine kadar  $\alpha=0.23$ 'e düşmektedir. Yüksek frekans bölgesinde ise  $\alpha=0.27 - 0.36$  aralığında değişim göstermektedir. Referans blok örneği için bu çalışmada öngörülmüş  $\alpha=0.3$ 'luk absorpsiyon bant genişliği değeri ile mukayese edildiğinde, 12 mm'lik ses emisyon yarık genişliğinde  $\Delta f_{0,3}=1.58 f_{rez}$ 'dir. Bu yaklaşım, referans bloğun rezonans bölgesinde etkin ses emicilik performansına göre yaklaşık %12 daha gelişmiş olduğunu gösterir. Diğer bir irdeleme bulgusu olarak, 12 mm'lik ses emisyon yarık genişliğinde blok örneğinin gürültü azaltma katsayıısı NRC<sub>12mm</sub>=0.37 olarak hesaplanmıştır. Referans blok örneğine benzer şekilde bu blok tasarımu da DIN EN ISO 11654 standardında [19] öngörülen ses emici sınıfına göre "E" kategoride yer almaktadır. Ancak, referans blok tasarımasına göre gürültü azaltma performansı olarak da yaklaşık %12 daha yüksek bir emilim değerine sahiptir.

Blok elemanı tasarımında ses emisyon yarık genişliği artırıldığında, blok örneğinin ses yutum ve akustik performansındaki gelişimin irdelemesi amacıyla ses emisyonu yarık genişliği 16 mm ve 20 mm olan hafif agregalı akustik kâğır blok örneklerinin analizi yapılmıştır. Blok örneklerinin 16 mm ve 20 mm yarık genişliği değerlerinde kütle ağırlıkları ( $\text{m}^2$  ağırlıkları) sırasıyla 132 kg/m<sup>2</sup> ve 131 kg/m<sup>2</sup>'dir. Eşitlik 4'e göre hesaplanmış rezonans frekans değerleri de 16 mm ve 20 mm yarık genişliği için sırasıyla  $f_{rez\_16mm}=251 \text{ Hz}$  ve  $f_{rez\_20mm}=303 \text{ Hz}$ 'dır. Blok tasarımında ses emisyon yarık genişliği arttıkça, rezonans frekans değeri de artmaktadır. Bu da rezonans bölgesinde ses emicilik özelliğinde daha etkin olacağını çağrıştırmaktadır. 16 mm ve 20 mm yarık genişlikli blok örneklerinin 1/3 oktav bandında 63 Hz – 6300 Hz frekans aralığında ses yutum katsayıısı değişimi analiz edilmiş olup, bulgular Şekil 9 ve Şekil 10'da verilmiştir.

Frekans (Hz)	Ses Yutum Katsayısı
63	0,05
80	0,10
100	0,16
125	0,25
160	0,43
200	0,59
250	0,73
315	0,59
400	0,45
500	0,34
630	0,27
800	0,28
1000	0,32
1250	0,34
1600	0,34
2000	0,32
2500	0,31
3150	0,27
4000	0,24
5000	0,24
6300	0,32

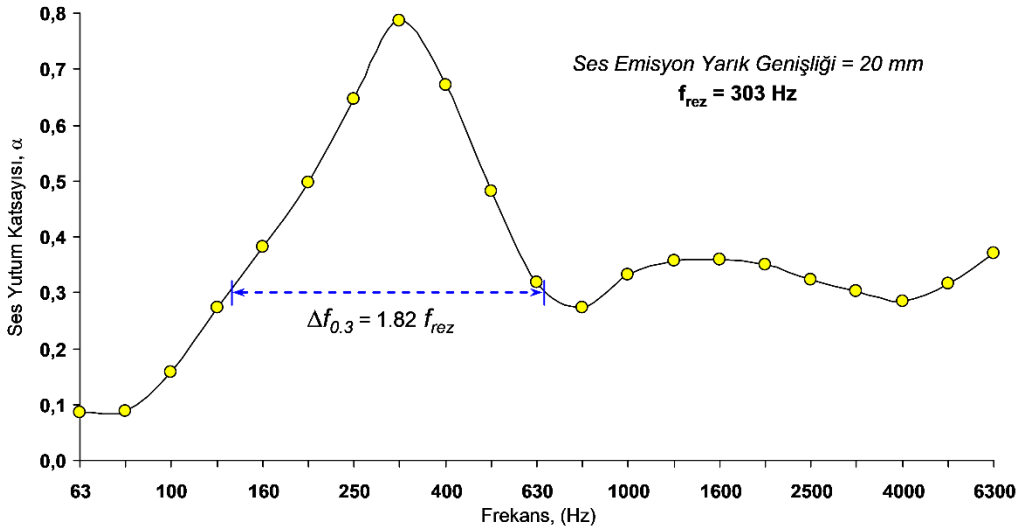
**NRC= 0,43**



Şekil 9. Frekans – ses yumut katsayıları ilişkisi (ses emisyon yarık genişliği: 16 mm)

Frekans (Hz)	Ses Yutum Katsayısı
63	0,09
80	0,09
100	0,16
125	0,27
160	0,38
200	0,50
250	0,65
315	0,79
400	0,67
500	0,48
630	0,32
800	0,27
1000	0,33
1250	0,36
1600	0,36
2000	0,35
2500	0,32
3150	0,30
4000	0,29
5000	0,32
6300	0,37

**NRC= 0,45**



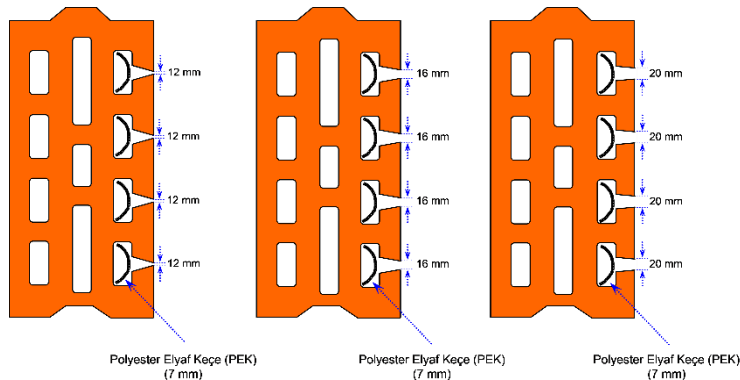
Şekil 10. Frekans – ses yumut katsayıları ilişkisi (ses emisyon yarık genişliği: 20 mm)

Rezonans frekansı değerlerinde 16 mm yarık açılığındaki bloğun maksimum ses yumut katsayısı  $\alpha=0.73$  iken 20 mm yarık açılığındaki bloğun maksimum ses yumut katsayısı ise  $\alpha=0.80$ 'dır. 12 mm'den 20 mm'ye değişen ses emisyon yarık genişliğindeki artış, ses yumut katsayı değerlerinde her bir yarık genişliği artışıyla %8.9 - %9.6 oranında gelişim göstermiştir. Blok tasarımındaki yarık genişliği büyüğükçe, Helmholtz rezonatör formundaki boşluk hacimlerine alınan ses miktarının arttığını ve dolayısıyla daha fazla ses soğurma işlevi gördüğünü temsil etmektedir. Bununla birlikte, yüksek frekans bölgelerinde de yarık genişliğine bağlı olarak ses yumutu daha düşük düzeyde de olsa bir performans artışı olduğu görülmektedir. Referans blok örneği için bu çalışmada öngörülmüş  $\alpha=0.3$ 'luk absorpsiyon bant genişliği değeri ile mukayese edildiğinde, 16 mm'lik ses emisyon yarık genişliği için  $\Delta f_{0,3}=1.75 f_{rez}$  ve 20 mm'lik ses emisyon yarık genişliği için ise  $\Delta f_{0,3}=1.82 f_{rez}$ 'dır. Blok tasarımındaki 16 mm'lik yarık genişliği, referans bloğa göre rezonans bölgesinde yaklaşık %28.7'lik daha etkin bir ses emicilik performansına sahiptir. Benzer şekilde, 20 mm'lik yarık genişliği ise referans bloğa göre rezonans bölgesinde yaklaşık %33.8'lik daha etkin bir ses emicilik performansına sahiptir. Buradan da görüleceği üzere ses

emisyon yarık genişliği, kagir bloğun akustik performans tasarımda önemli bir faktör olmakta ve blok elemanın arzu edilen akustik değerin sağlanabilmesi için tasarımında boyutlandırmanın önemle ve özenle yapılması kaçınılmaz olmaktadır. Diğer bir irdeleme bulgusu bağlamında, 16 mm ve 20 mm'lik ses emisyon yarık genişliklerinde gürültü azaltma katsayısı sırasıyla  $NRC_{16mm}=0.43$  ve  $NRC_{20mm}=0.45$  olarak hesaplanmıştır. Blok elemanlarının ses yutum performansı artmasına rağmen, her iki blok tasarımının da DIN EN ISO 11654 standardında [19] öngörülen ses emici sınıfına göre kategorileri değişmemiştir, "E" kategoride yer almaktadır. Ancak, referans blok tasarımına göre gürültü azaltma performansları önemli ölçüde artış göstererek 16 mm ve 20 mm yarık açıklığı için sırasıyla %30.3 ve %36.4 oranlarında artmıştır.

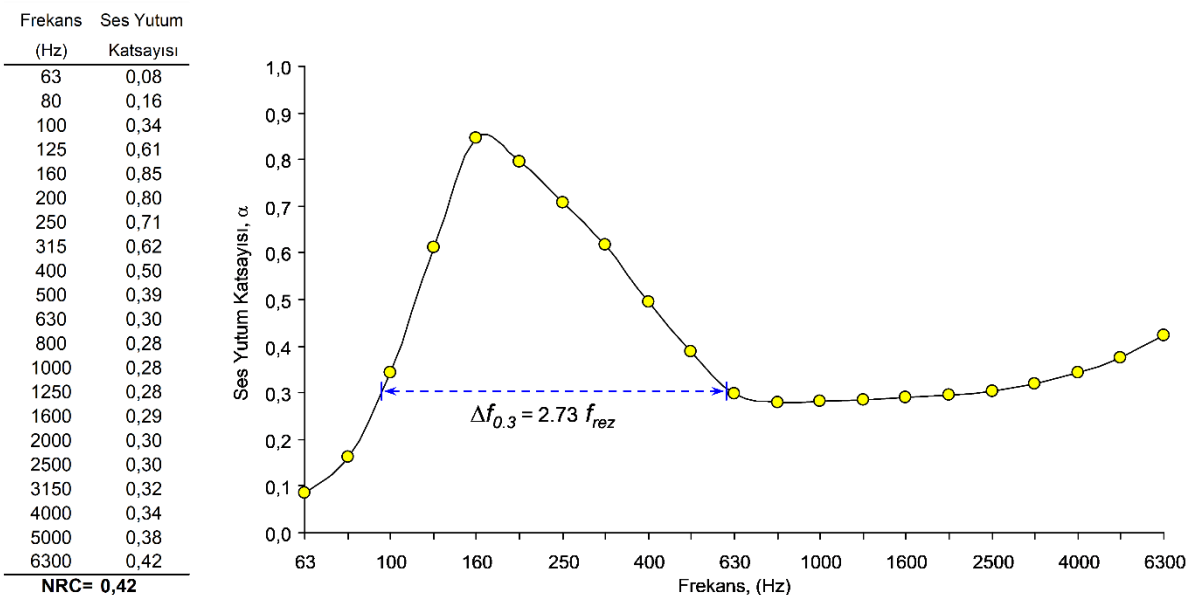
### C. İlave Ses Emici Takviyeli Kâgir Blok Tasarımının Ses Yutum Özellikleri

Hafif agregali Helmzholtz rezonatör formu tasarımına sahip olan kâgir blok elemanlarının ses emicilik özelliklerinin düşük ve orta frekans bölgelerinde etkin bir değer taşıdığı görülmüştür. Blok tasarımının yüksek frekans bölgelerinde de ses yutum özelliklerinin mevcut tasarımına göre iyileştirilebilmesi amacıyla Helmholz rezonatör formunu oluşturan boşluk hacimleri içeresine ses soğuruculuk özelliği taşıyan gözenekli malzemeler yerleştirilerek akustik özelliği geliştirilebilmektedir. Bu özelliğin sağlanabilmesi için bu çalışma kapsamında blok örneklerinin rezonatör görevi gören her bir boşluk hacmi içerisinde normal piyasa koşullarından tedarik edilen ortalama yoğunluğu  $100\pm10 \text{ kg/m}^3$  ve 7 mm kalınlıkta polyester elyaf keçe (PEK) malzeme dış bükey (konveks) form oluşturacak şekilde yerleştirilerek, ilave ses emici takviyeli kâgir blok tasarımını oluşturulmuştur. Bu yalıtım takviye elemanı (PEK), geri dönüşümünden elde edilen sentetik elyafların harmanlanarak, kolay uygulanabilir dokumasız kumaş (nonwoven) iğnelemeye yöntemi ile sıkıştırılarak uygulanabilir kalınlığa getirilmiş kimyasal katkı maddesi içermeyen ses izolasyonu amaçlı kullanılan bir malzemedir. PEK yalıtım malzemesinin inşaat sektörü haricinde otomotiv sektörü ve beyaz eşya sektöründe de nonwoven ürünler olarak akustik amaçlı kullanımı yaygın olarak görülebilmektedir. Yalıtım takviyeli kâgir blok elemanın tasarımında sırasıyla 12 mm, 16 mm ve 20 mm olarak oluşturulan 3 ayrı yarık genişliğinde blok örneklerinin ses yutum katsayıları değerleri 1/3 oktav bandında 63 Hz – 6300 Hz frekans aralığındaki değişimini analiz edilmiştir. PEK takviyeli blok örneklerinin sembolik görünümleri Şekil 11'de verilmiştir.



Şekil 11. PEK takviyeli blok örneklerinin sembolik görünümü

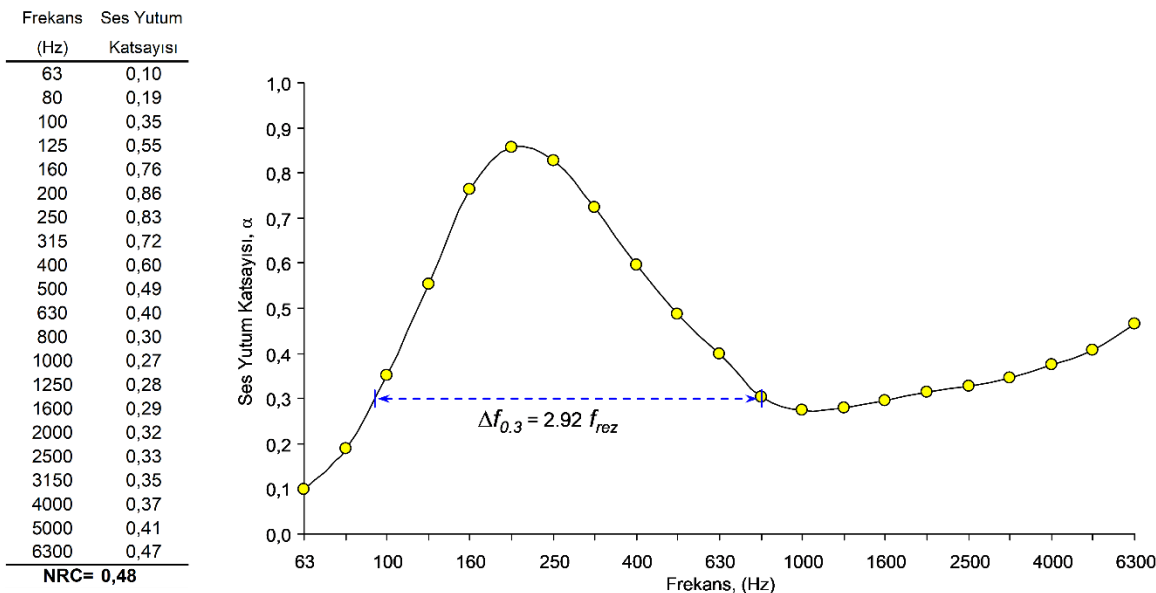
Rezonans frekans değeri  $f_{rez}=196 \text{ Hz}$  olarak belirlenmiş olan 12 mm ses emisyonu yarık genişliğinde hafif agregali akustik kâgir blok örneğine dış bükey formda ortalama 7 mm kalınlığında PEK malzeme takviyesi yerleştirildikten sonra 1/3 oktav bandında 63 Hz – 6300 Hz frekans aralığında ses yutum katsayıları değişimini analiz edilmiş olup, bulgular Şekil 12'de verilmiştir.



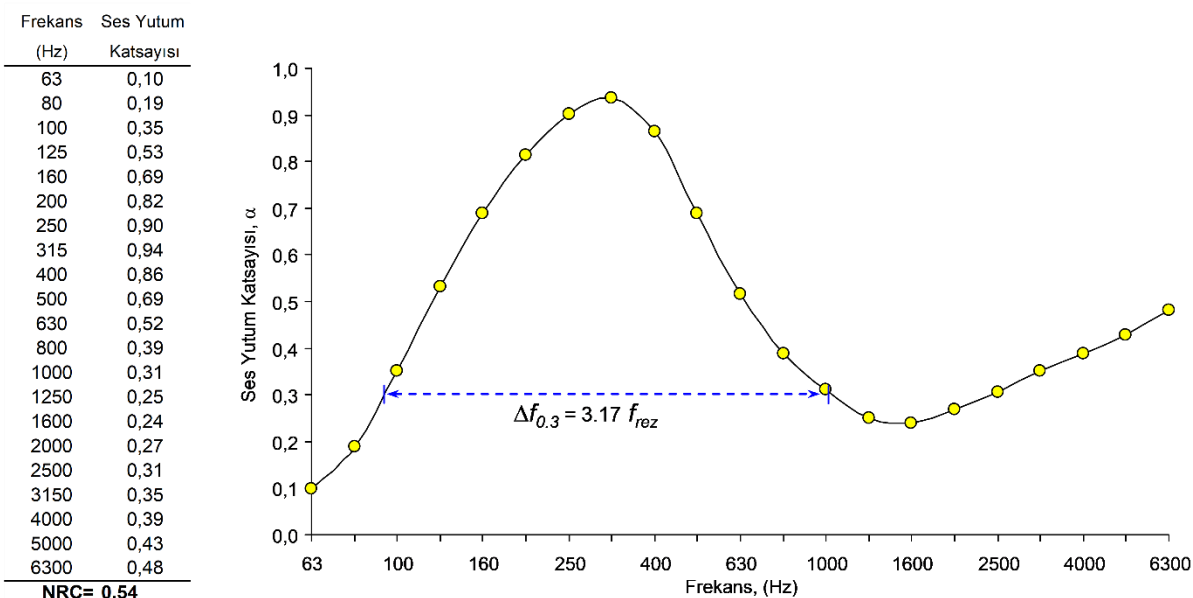
Şekil 12. Frekans – ses yutum katsayısı ilişkisi (PEK takviyeli 12 mm yarık genişlikli blok)

12 mm ses emisyonu yarık genişliğine sahip hafif agregalı blok örneğinin PEK takviyesi yapılmadan önce rezonans frekans değerinde belirlenmiş  $\alpha=0.67$ 'lik değerin, PEK takviyesi ile  $\alpha=0.80$  seviyesine ulaştığı görülmüştür. Bununla birlikte düşük frekans bölgesinde belirlenen en yüksek  $\alpha=0.85$  olup, bu frekans bant genişliğinde blok tasarımının yaklaşık %29 daha fazla ses emici bir özellik kazandığı görülmüştür. Buradaki artışın sebebi, ses enerjisinin bir kısmının blok tasarımındaki Helmholtz rezonatör formu ve PEK malzemenin nonwoven dokusu ve gözeneklerinde ısı enerjisine dönüşümyle soğrulmasına bağlanabilir. Blok tasarımındaki bu iyileşmenin bir diğer bulgusu ise, düşük ve orta frekans bölgelerinde  $\alpha$  değerlerinin PEK takviyesiz formuna kıyasla daha yüksek ses emme değerlerine sahip olduğunu göstermektedir. Bu da PEK takviyesinin bu tasarım formu için rezonans bölgesinde yaklaşık 1.73 kat daha etkin ses emicilik performansına sahip olduğunu temsil eder. Ayrıca, referans blok örneğine göre ise bu etkinlik değerinin yaklaşık 2 kat daha yüksek olduğu görülebilmektedir. Yüksek frekans bölgesinde ise genel olarak ses emicilik değerinin PEK takviyesiyle birlikte arttığı da görülmektedir. Diğer bir irdelemede, 12 mm'lik ses emisyon yarık genişliğinde blok örneğine PEK takviyesi yapıldıktan sonra gürültü azaltma katsayıları NRC<sub>12mm+PEK</sub>=0.42 olarak hesaplanmıştır. DIN EN ISO 11654 standardında [19] öngörülen ses emici sınıfına göre "E" kategoride yer almaktadır. Ancak, PEK takviyesiz blok formuna göre gürültü azaltma performansının yaklaşık %13.5 artarak daha geliştiği, referans blok tasarımına göre ise yaklaşık %27 daha yüksek bir ses emici özellik kazanmıştır.

16 mm ve 20 mm ses emisyonu yarık genişliğinde hafif agregalı akustik kâğıt blok örneklerine dış bükey formda ortalama 7 mm kalınlığında PEK malzeme takviyesi yerleştirildikten sonra 1/3 oktaf bandında 63 Hz – 6300 Hz frekans aralığında ses yutum katsayısı değişimi analiz bulguları Şekil 13–Şekil 14'de verilmiştir.



Şekil 13. Frekans – ses yutum katsayıları ilişkisi (PEK takviyeli 16 mm yarık genişlikli blok)



Şekil 14. Frekans – ses yutum katsayıları ilişkisi (PEK takviyeli 20 mm yarık genişlikli blok)

PEK takviyesiz 16 mm ve 20 mm ses emisyonu yarık genişliğindeki blok örneklerinin rezonans frekans değerlerinde belirlenmiş maksimum ses yutum katsayıları sırasıyla  $\alpha=0.73$  ve  $\alpha=0.80$ 'dır. PEK takviyesi ile birlikte sırasıyla  $\alpha=0.86$  ve  $\alpha=0.94$  değerlerine yükselmiştir. Düşük frekans bölgesinde PEK takviyeli 16 mm ses emisyonu yarık tasarımlı kagir bloğun ses emicilik özelliğinin yaklaşık %18 oranında iyileştiği, 16 mm ses emisyonu yarık tasarımlı kagir bloğun ise yaklaşık %17,5 daha iyileştiği görülmüştür. Elde edilen maksimum ses emicilik yüzde oran değer değişimi irdelediğinde yarık boyutu arttıkça PEK takviyesinin düşük frekans bölgesinde bloğun ses emicilik etkinliğini göreceli olarak azaltmaktadır. 16 mm ses emisyonu yarık tasarımlı bloğun PEK takviyesiz formu için elde edilen  $\Delta f_{0,3}= 1.75 f_{rez}$ 'lık değeri, PEK takviyesiyle birlikte  $\Delta f_{0,3}= 2.92 f_{rez}$  değerine yükselmektedir. Benzer şekilde, 20 mm yarık tasarımlı bloğun PEK takviyesiz formu için ise bu yaklaşımın  $\Delta f_{0,3}=1.82 f_{rez}$ 'lık değeri, PEK takviyesiyle birlikte  $\Delta f_{0,3}=3.17 f_{rez}$  değerine yükselmektedir. PEK takviyesi ile birlikte 16 mm yarık tasarımlı blokta 1.67 katlık, 20 mm yarık tasarımlı blokta ise 1.74 katlık ilave bir ses emicilik performansı sağlanmaktadır. Ancak, referans blok baz alındığında ise; 16 mm yarık tasarımlı blokta

2.15 katlık, 20 mm yarık tasarımlı blokta ise 2.33 katlık ses emicilik performansları gelişmektedir. Bu değerlerin genellikle düşük ve orta frekans bölgelerinde etkinlik kazandığı görülmektedir. Yüksek frekans bölgesinde ise ses emicilik değerinin PEK takviyesi ile birlikte 1000 Hz – 2000 Hz aralığında bir miktar düşüğü görülse de daha yüksek frekanslarda ses yutum değerleri artmaktadır. 16 mm yarık tasarımlı blok örneğine PEK takviyesi, gürültü azaltma katsayısı  $NRC_{16mm}=0.43$ 'den  $NRC_{16mm+PEK}=0.48$  değerine yükselmiştir. Benzer olgu, 20 mm yarık tasarımlı blok örneğine PEK takviyesi, gürültü azaltma katsayısı  $NRC_{20mm}=0.45$ 'den  $NRC_{20mm+PEK}=0.54$  değerine yükselerek gelişmiştir. Ancak PEK takviyesi, referans blok formuna göre 16 mm yarık tasarımlı blokta gürültü azaltma performansını yaklaşık %45.5 iyileştirecek DIN EN ISO 11654 standartında [19] öngörülen "emicili sınıfı" olarak da nitelendirilebilen "D" kategorisine gelişimini sağladığı düşünülebilir. Benzer olgu, 20 mm yarık tasarımlı blokta ise gürültü azaltma performansını yaklaşık %64 iyileştirecek daha yüksek bir ses emicilik sınıfını temsil eden "C" kategorisine yükselmiştir. Bu bulgulara göre, ses emisyon yarık genişliği, Helmzholtz rezonatör formu tasarımı ve boyutları, boşluk hacmi içeresine ilave ses emici takviye elemanı olarak yerleştirilebilecek malzemenin karakteristiği ve kalınlığı gibi faktörler, kagir blok tasarımının ses emicilik performansına doğrudan etken olan parametreler arasında yer aldığı göstermektedir.

#### IV. SONUÇLAR

Bu çalışmada, özellikle tasarımında Helmholtz rezonatör formunun oluşturulduğu ve 3 ayrı alternatif ses emisyon yarık genişliklerinin kagir blok elemanın ses yutum performansına olan etkileri incelenmiştir. Ayrıca, blogun ses yutma kapasitesini artırmak için polyester elyaf keçenin takviyeli ayrı bir seri blok tasarımını incelenmiştir. Çalışma sonuçlarının karşılaştırmalı analizinin yapılabilmesi için, yarıksız ve keçe takviyesiz standart bir blok tasarımını referans olarak incelenmiş ve toplamda 7 farklı seri blok dizaynı irdelenmiştir. Çalışma bulgularına göre:

1. Düşük frekans bölgelerinde referans blok elemanın ses yutum katsayısı 0.07 – 0.44 aralığında değişmektedir. Bu bulgu, hafif agregalı referans blok örneğinin özellikle düşük frekans bölgesinde ses yutumu açısından daha etkin bir performansa sahip olduğu anlaşılmaktadır.
2. Referans blok örneğinin Gürültü Azaltma Katsayıları  $NRC=0.33$  olarak hesaplanmıştır. DIN EN ISO 11654 standartında öngörülen ses emici sınıfına göre "E" kategoride yer almaktadır. Bu değere göre blok elemani yüzeyine gelen ses dalgalarının %33'ünün kagir blok elemani tarafından emildiğini, %67'lük kısmının ise ortama geri yansıtıldığını gösterir. Geri yansıtılan ses dalgalarının oransal değerinin daha düşük bir düzeye indirgenmesi için, blok elemanın tasarımında ses yutma performansın iyileştirilmesini sağlayacak alternatif tasarım değişikliklerinin yapılması gerekmektedir.
3. 12 mm, 16 mm ve 20 mm ses emisyon yarık genişliklerinde blok örneklerinin gürültü azaltma katsayıları sırasıyla  $NRC_{12mm}=0.37$ ,  $NRC_{16mm}=0.43$  ve  $NRC_{20mm}=0.45$  olarak hesaplanmıştır.
4. Rezonans frekans değerleri 12mm, 16 mm ve 20 mm yarık genişliği için sırasıyla  $frez_{12mm}=196$  Hz,  $frez_{16mm}=251$  Hz ve  $frez_{20mm}=303$  Hz'dır. Blok tasarımında ses emisyon yarık genişliği arttıkça, rezonans frekans değeri de artmaktadır. Bu da rezonans bölgesinde ses emicilik özelliğinde daha etkin olacağını çağrıştırmaktadır.
5. PEK takviyeli ve 12 mm, 16 mm ve 20 mm ses emisyon yarık genişliklerinde blok örneklerinin gürültü azaltma katsayıları sırasıyla  $NRC_{12mm+PEK}=0.42$ ,  $NRC_{16mm+PEK}=0.48$  ve  $NRC_{20mm+PEK}=0.54$  olarak hesaplanmıştır.
6. PEK takviyesi, referans blok formuna göre 16 mm yarık tasarımlı blokta gürültü azaltma performansını yaklaşık %45.5 iyileştirecek DIN EN ISO 11654 standartında öngörülen "emicili sınıfı" olarak da nitelendirilebilen "D" kategorisine gelişimini sağlamıştır. Ayrıca, 20 mm yarık tasarımlı blokta ise gürültü azaltma performansını yaklaşık %64 iyileştirecek daha yüksek bir ses emicilik sınıfını temsil eden "C" kategorisine yükselmiştir.

#### KAYNAKLAR

- [1] Aksoy, U. T. & Toktaş S. (2011). Dış duvar uygulamalarında ses geçirimliliği ve ses yalıtımı özellikleri, *Engineering Sciences*, 6(4), 827-837.
- [2] Erol, H. B. (2006). *İç mekanlarda malzeme kullanımında akustik performans kriterleri*. Yüksek Lisans Tezi, Mimar Sinan Üniversitesi, Fen Bilimleri Enstitüsü, İstanbul.

- [3] Fahy, F., & Walker, J. (2005). *Advanced Applications in Acoustics, Noise and Vibration*. Spon Press, London and New York, UK and USA.
- [4] Hurley, J. S. (2007). *Natural Fiber Based Lightweight Sound Absorber Materials*. SAE Technical Paper Series, No: 2007-01-2197.
- [5] İzoder (2013). *İnşaat Teknolojisi Ses Yalıtımı*. Isı Su Ses ve Yangın Yalıtımçıları Derneği, İstanbul, 80.
- [6] Demirkale Y.S. (2007). *Çevreve Yapı Akustiği*, BirsenYayinevi, İstanbul.
- [7] Sousa, H., & Carvalho, A., Melo, A., (2004). A New Sound Insulation Lightweight Concrete Masonry Block. Design And Experimental Characterization, *13th International Brick and Block Masonry Conference*. July 4-7, Amsterdam.
- [8] Sousa, H., & Carvalho, A. (1998). A New Sound Absorbing Lightweight Concrete Masonry Block, *XXV IAHS World Housing Congress Proceedings*. 1, 325-332.
- [9] Koski, J. A. (1992). *Sound-absorbing concrete block, Acoustically engineered block quiet noisy areas and improve overall sound quality*. PUBLICATION #M920384, The Aberdeen Group.
- [10] Colinwell Co. (2022). *Acoustic Masonry*, <http://www.colinwell.com>
- [11] Haron, Z., Jusli, E., Nor, H. M., Jaya R. P., Yaacob, H., Yahya K., Mohamad, A., & Yahya M. N. (2018). Prediction of Sound Absorption Coefficient for Double Layer Rubberised Concrete Blocks. *International Journal of Engineering & Technology*, 7(2.29), 704-710.
- [12] Fediuk, R., Amran, M., Vatin, N., Vasilev, Y., Lesovik, V., & Ozbakkaloglu, T. (2021). Acoustic Properties of Innovative Concretes: A Review. *Materials*, 14(2), 398.
- [13] TS EN ISO 10534-1. (2004). Acoustics - Determination of sound absorption coefficient and impedance in impedance tubes - Part 1: Method using standing wave ratio, 20.
- [14] TS EN ISO 10534-2. (2003). Acoustics - Determination of sound absorption coefficient and impedance in impedance tubes -Part 2: Transfer-function method, 27
- [15] Ghilahare, A. K., & Pandey, M. (2007). Experimental Analysis of Sound Absorption Coefficient of the Combined Mechanism of Enhanced Egg Carton, Gypsum Board and Sound Diffuser. *International Journal of Innovative Research in Science, Engineering and Technology*, 6(8), 16400-16412.
- [16] Thermalxx Jackets. (2022). *Decibel Drop and Noise Reduction Coefficients for Material Combinations*. <https://blog.thermaxxjackets.com/decibel-drop-noise-reduction-coefficients-for-material-combinations>, (25.12.2022).
- [17] Arge Yapı İzolasyon. (2022), *Ses Yalıtım Malzemeleri*. <https://www.argeyapiizolasyon.com/ses-yalitim-malzemeleri>, (25.12.2022).
- [18] ASTM C423. (2022). Standard Test Method for Sound Absorption and Sound Absorption Coefficients by the Reverberation Room Method
- [19] TS EN ISO 11654. (2002). Acoustics - Sound absorbers - Rating of sound absorption coefficients.